

## 地盤の震動継続時間係数について

東北工業大学 工学部 正員 神山 真

### 1 まえがき

地盤の震動性状は地盤構造により大きさを影響を受けることが知られている。この事実は過去の震害経験からも実際の地震観測からも立証されていふ。

地盤の震動性状と一口に言つてもその特徴づけは多くの要素があるといふ。こうした、従来、問題とされてきたのは基盤入射波に対する増幅度と卓越周期に依存する周波数選択性である。これについては地盤を重複反射系といふ多質点系と見なしした多くの理論研究によりかなりのことわざがなされている。

一方、以前より同一の地震に対しても場所による震動継続時間がかなり異なることが指摘されている。こうしては震動継続時間も増幅度、周波数選択性と同様に地盤構造の一連の因数であることを示唆しているものと思われる。一般に震動継続時間は地盤構造の他に地震のマグニチュード、震源距離、伝播する地震波の波動特性など種々の要素に影響される。震動継続時間とマグニチュード、震源距離との関係についてはかなり研究されており、粗略式も提案されている。<sup>1), 2), 3), 4)</sup>しかし、震動継続時間と地盤構造との関係については最近の伯野、井上<sup>5)</sup>の江ミレーション計算による研究を除いて、定量的な議論はあまりなされておらずようである。例えば、Trifunac and Brady<sup>6)</sup>によるとアリカの膨大な震源記録をもとに震動継続時間に関する統合的な研究でも、いかにも弱地盤にならば震動継続時間は長くなると見える指摘はあるものの、追論的、定量的考察はなされていない。

周知のように、構造物の弹性性本質や砂地盤の液状化現象などでは震動の振幅、周波数特性に加え、継続時間は重要な役割を演ずる。従って、震動継続時間が地盤構造によりいかに影響されるかを前もって把握しておくことは工学的に重要なことであると思われる。

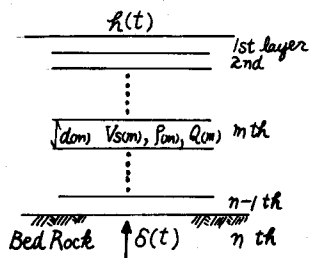
以上の観点から、震動継続時間の長短を表現する1つのパラメータを地盤構造の固有の性質として定義し、これを通じて震動継続時間に及ぼす地盤構造の影響について若干の考察を試みるので以下に報告する。

### 2 地盤の震動継続時間係数の定義

震動継続時間といふ定義するかは非常にむずかしい問題である。震動継続時間の工学的意味を用ひながら議論するならば、その定義自体が一大テーマとなるであろう。事実、従来の研究では研究者によりまちまちの定義がなされている。ここでは絶対的な継続時間を議論しないで、継続時間の長短を表わす1つのパラメーターを導入し、継続時間の長短を直接的に表現する。また、地盤を伝播する地震波については震動継続時間に及ぼす影響は大きいと考えられるが、実体波、表面波などの詳しい波動特性を考慮するとマグニチュード、震源距離を当然考えに入らなければならず地盤固有の係数として震動継続時間を考える目的でこの研究の主旨から離れる。そこで、ここでは取りあえずセン断波が直下から入射するS波重複反射のサインによる波動特性を考える。また、地盤は粘弹性体と仮定する。

さて、図-1に示すような基盤を含めて何層からなる多層地盤を考える(表面層は粘弹性、基盤は弹性)。このとき、基盤に同一の地震波が入射したとしても表面層の構造により地表面での震動継続時間は変化すると思われる。いま、基盤にデルタ角型の地震波  $s(t)$  が入射したときに、地表面にインペルス応答  $a(t)$  が生じる。このようなインペルス応答  $a(t)$  は地盤を構成するパラメータのみによって決まる量である。従って、入射する地震波の性質による地盤固有の係数として震動継続時間を見るとにはインペルス応答  $a(t)$  について議論するのが適当である。そこで、

図-1 地盤構造



$\alpha(t)$ について次のような量を考える。

$$M_1 = \int_{-\infty}^{\infty} \alpha^2(t) dt \quad \dots \dots \dots (1) \quad , \quad M_2 = \int_{-\infty}^{\infty} t^2 \alpha^2(t) dt \quad \dots \dots \dots (2)$$

式(1)の $M_1$ は地盤固有の性質による地震時の全震動パワーの大小を表すパラメーターであり、式(2)の $M_2$ は震動パワーの時間モーメントを表すパラメーターである。いずれも地盤固有の量である。以下、 $M_1$ を地盤の震動パワー係数、 $M_2$ を地盤の震動パワー モーメント係数と呼ぶ。次に、式(1)、(2)より次のような量を定義する。

$$M_3 = \sqrt{\frac{M_2}{M_1}} \quad \dots \dots \dots (3)$$

式(3)の $M_3$ はある時間的起始から $\alpha(t)$ の重心の時間長を表す量であり、 $\alpha(t)$ の震動強度時間の長さを直接的に表現するパラメーターと表される。その模式的説明は一般的の地震記録を例にとって、図-1に示すようにある。即ち、 $\alpha(t)$ は地盤構造のみによって決まる量であり、従って、 $M_3$ は地盤の地震時の振動強度時間のうち、地盤構造により影響を及ぼす度合を測る尺度と考えられる。以下、 $M_3$ を地盤の震動強度時間係数と呼ぶ。

$M_1, M_2, M_3$ などの諸量は地盤の係数が加われば求まる地盤構造固有の量であるが、このままのがでは被積計算に不都合である。そこで、周波数領域に変換して考えてみる。図-2 地盤の震動強度時間係数( $M_3$ )の説明

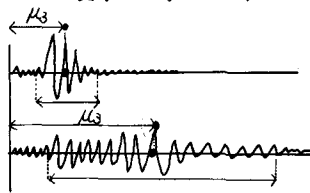
いま、インパルス応答 $\alpha(t)$ のFourier変換を $H(\omega)$ とする。

$$H(\omega) = \int_{-\infty}^{\infty} \alpha(t) \cdot e^{-i\omega t} dt \quad \dots \dots \dots (4)$$

同様のよう $H(\omega)$ は周波数伝達係数であり、 $e^{-i\omega t}$ を入力させたときの出力として別途に求めることができる。周波数伝達係数

$H(\omega)$ を使うと式(1)、(2)はParsevalの公式が下のように周波数領域で表わされる。

$$M_1 = \int_{-\infty}^{\infty} \alpha^2(t) dt = \frac{1}{2\pi} \int_{-\infty}^{\infty} |H(\omega)|^2 d\omega \quad \dots \dots \dots (5) \quad , \quad M_2 = \int_{-\infty}^{\infty} t^2 \alpha^2(t) dt = \frac{1}{2\pi} \int_{-\infty}^{\infty} \left| \frac{dH(\omega)}{d\omega} \right|^2 d\omega \quad \dots \dots \dots (6)$$



これに、 $|H(\omega)|$ などは $H(\omega)$ の絶対値を表す。

図-1 によると、層地盤の $H(\omega)$ 、 $dH(\omega)/d\omega$ は式(7)、(8)で与えられる。なお、既往の研究を参考すると地盤の粒度の大きさは内減衰係数 $Q$ によって一定であるとする報告があるが、ここでは粒度の大きさを表す係数 $Q$ を $\omega$ によらず一定とした。

$$H(\omega) = \frac{1}{\sqrt{1 + \left( \frac{\omega}{\omega_m} \right)^2}} \quad \dots \dots \dots (7)$$

これに、 $i = \sqrt{-1}$ 、 $\omega_m = \omega/V_{S(n)}$ 、 $\omega$ : 内減衰係数、 $V_{S(n)}$ :  $n$ 層(基盤)のS波速度

$G_{(n)}$ :  $n$ 層(基盤)のセシ断弹性係数

$$\begin{aligned} \begin{bmatrix} L_{11} & L_{12} \\ L_{21} & L_{22} \end{bmatrix} &= \left[ \alpha_{(n-1)} \right] \cdot \left[ \alpha_{(n-2)} \right] \cdot \dots \cdot \left[ \alpha_{(m)} \right] \cdot \dots \cdot \left[ \alpha_{(1)} \right] \\ \begin{bmatrix} \alpha_{(m)} \end{bmatrix} &= \begin{bmatrix} \cos \left[ \frac{d(m)}{V_{S(m)}} \cdot \omega \cdot \left( 1 + \frac{i}{Q_{(m)}} \right)^{-\frac{1}{2}} \right] & \sin \left[ \frac{d(m)}{V_{S(m)}} \cdot \omega \cdot \left( 1 + \frac{i}{Q_{(m)}} \right)^{-\frac{1}{2}} \right] / \left( \omega \cdot P_{(m)} \cdot V_{S(m)} \cdot \left( 1 + \frac{i}{Q_{(m)}} \right)^{\frac{1}{2}} \right) \\ -\omega \cdot P_{(m)} \cdot V_{S(m)} \cdot \left( 1 + \frac{i}{Q_{(m)}} \right)^{\frac{1}{2}} \cdot \sin \left[ \frac{d(m)}{V_{S(m)}} \cdot \omega \cdot \left( 1 + \frac{i}{Q_{(m)}} \right)^{-\frac{1}{2}} \right] & \cos \left[ \frac{d(m)}{V_{S(m)}} \cdot \omega \cdot \left( 1 + \frac{i}{Q_{(m)}} \right)^{-\frac{1}{2}} \right] \end{bmatrix} \end{aligned}$$

$d(m)$ :  $m$ 層の層厚、 $V_{S(m)}$ :  $m$ 層のS波速度、 $Q_{(m)}$ :  $m$ 層のQ値

$$\frac{dH(\omega)}{d\omega} = \frac{-\omega \frac{dL_{11}}{d\omega} - \frac{V_{S(n)}}{i \cdot G_{(n)} \cdot \omega} \cdot \frac{dL_{21}}{d\omega} + \frac{L_{21} \cdot V_{S(n)}}{i \cdot G_{(n)} \cdot \omega^2}}{\left( L_{11} + \frac{L_{21} \cdot V_{S(n)}}{i \cdot \omega \cdot G_{(n)}} \right)^2} \quad \dots \dots \dots (8)$$

ところで、式(5)、(6)のすうに形式的に表された式で  $M_1$ 、 $M_2$  を求めることはできない。特に、積分の上下限値を数値計算可能なよう変える必要がある。ここでは、 $M_1$  などの係数をパラメーターとしての本質は変えないが、且つ数値計算可能なよう新しく定義する。いま、式(5)、(6)の被積分項は  $\omega$  に関する偶数である。さらに、我々が耐震工学で扱う周期はせいぜい  $0.05\text{ sec}$  から  $20\text{ sec}$  の範囲である。また、式(5)、(6)の係数  $1/\omega^2$  を削除しても  $M_1$  などのパラメーターとしての本質は変わらない。以上の諸実を考えて、新しく震動パワー係数 ( $C_{sp}$ )、震動ペーパーント係数 ( $C_{SM}$ )、震動強時間係数 ( $T_{du}$ ) を次のようく定義する。

$$C_{sp} = \int_{a/m}^{40\pi} |H(\omega)|^2 d\omega \quad \dots \dots (9), \quad C_{SM} = \int_{a/m}^{40\pi} \frac{dH(\omega)}{d\omega} |^2 d\omega \quad \dots \dots (10), \quad T_{du} = \sqrt{C_{SM}/C_{sp}} \quad \dots \dots (11)$$

### 3 $C_{sp}$ , $C_{SM}$ , $T_{du}$ などの数値計算例

以上のように定義された  $C_{sp}$ ,  $C_{SM}$ ,  $T_{du}$  などを表面層が 1 層の層向問題を例にとって求めた結果を示し、地盤構造の影響をみてみる。また、式(9), (10)の積分は Simpson の公式から数値積分として求めた。

図-3 は  $f_{(1)} = 1.5 \text{ g/cm}^3$ ,  $d_{(1)} = 30 \text{ m}$ ,  $Q_{(1)} = 20$ ,  $V_{S(1)} = 500 \text{ m/sec}$ ,  $f_{(2)} = 2.0 \text{ g/cm}^3$ ,  $Q_{(2)} = 0$  (図-1 参照) にて、 $V_{S(1)}$  を  $50 \text{ m/sec}$  から  $300 \text{ m/sec}$  まで適宜変えて求めた  $T_{du}$  を示してある。また、図-4 は同様な条件により求められた  $C_{sp}$ ,  $C_{SM}$  を示してある。図-3 の結果から他の条件が同じであれば表面層の S 波速度が遅いほど、即ち、軟弱な土ほど震動強時間係数  $T_{du}$  は大きくなることがわかる。このような  $T_{du}$  の変化の傾向は直線的であり、上記のシミュレーション計算結果による震動強時間の変化の傾向と一致している。一方、図-4 の結果を見ると、 $C_{SM}$  は  $T_{du}$  と同様に表面層の S 波速度が遅いほど大きくなるが、 $C_{sp}$  はやや異なる傾向となる、即ちある S 波速度で極大となるような傾向を示している。

次に、表面層の S 波速度などの係数を一定とし ( $V_{S(1)} = 100 \text{ m/sec}$ ,  $f_{(1)} = 1.5 \text{ g/cm}^3$ ,  $Q_{(1)} = 20$ ,  $f_{(2)} = 2.0 \text{ g/cm}^3$ ), 層厚が変ったとき  $T_{du}$  がいかに変化するかを求めたのが図-5 である。同図には基盤層の S 波速度が変った場合も同時に示されている。同様な条件のもとに求められた  $C_{sp}$ ,  $C_{SM}$  が図-6 に示されている。図-5 によると  $T_{du}$  は表面層の層厚とともにほどほど直線的に増加する。しかし、層厚に対する増加割合は基盤と表面層の振動インピーダンス比  $\alpha = f_{(1)} \cdot V_{S(1)} / (f_{(2)} \cdot V_{S(2)})$  の小さいほど大きくなることわかる。この傾向は直線的であり、上記のシミュレーション計算結果と一致している。一方、図-6 を見ると  $C_{SM}$  は  $T_{du}$  と同様に層厚とともに直線的に増加するが、逆に  $C_{sp}$  は層厚と反比例するところが知られる。 $C_{sp}$ ,  $C_{SM}$ ,  $T_{du}$  などの係数は震害に何らかの形で関与する係数と推定されるが図-3 ～図-6 の結果はこの実験が深く。

次に、図-7 は  $V_{S(1)} = 100 \text{ m/sec}$ ,  $f_{(1)} = 1.5 \text{ g/cm}^3$ ,  $d_{(1)} = 20 \text{ m}$ ,  $V_{S(2)} = 500 \text{ m/sec}$ ,  $f_{(2)} = 2.0 \text{ g/cm}^3$  にて  $Q_{(1)}$  を適宜変えて求めた  $T_{du}$  を示している。当然、予想されるように既往が小さくなるほど、即ち地盤が硬くなるほど  $T_{du}$  は小さくなる。地盤の粘性を求めた例によると洋縫地盤の Q 値は 20 前後であるとする報告<sup>6)</sup>があるが、この実験、一般に行なわれている完全弹性体 ( $Q=0$ ) の仮定に基づく地震応答計算は実際の震害と遙かに過度に強調時間を見誤っていることになる。地盤の粘性の重複性を考慮してみるとどうだろう。

図-3  $T_{du}$  と  $V_{S(1)}$  との関係

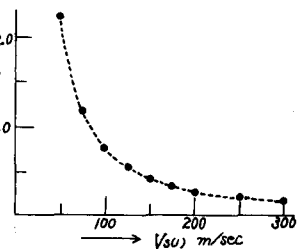


図-4  $C_{sp}$ ,  $C_{SM}$  と  $V_{S(1)}$  との関係

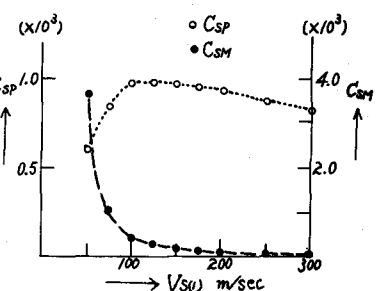
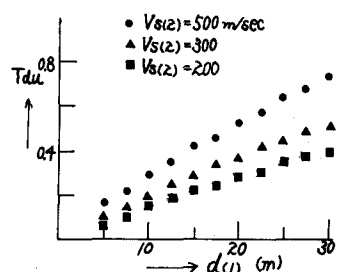


図-5  $T_{du}$  と  $d_{(1)}$  との関係



#### 4 $C_{sp}, C_{sm}, T_{du}$ に関する二層

##### (2) 順の解析解

上述のように  $C_{sp}, C_{sm}, T_{du}$  の地盤構造による影響を二層問題を解いて計算したが、実は二層構造の地盤では粘性を無視すれば  $C_{sp}, C_{sm}, T_{du}$  を解析的に求めることができる。途中の説明を省略し、結果のみを示せば、式(12)～(14)のようになる。

$$C_{sp} = \frac{A}{\alpha} \frac{4V_{50}(t)}{d(u)} \quad (12), \quad C_{sm} = \frac{B}{\alpha^3} \frac{4d(u)}{V_{50}(t)} \quad (13), \quad T_{du} = \frac{C}{\alpha} \frac{4d(u)}{V_{50}(t)} \quad (14)$$

ここで、 $A, B, C$  は式(7)～(10)の積分の上下限値によって決まる係数である。 $V_{50}(t)$ ：表面層のS波速度  
 $d(u)$ ：表面層の層厚， $\alpha = f_{(1)} \cdot V_{50}(t) / (f_{(2)} \cdot V_{50}(t))$ （振動インピーダンス比）， $f_{(1)}$ ：表面層の密度  
 $f_{(2)}$ ：基盤の密度， $V_{50}(t)$ ：基盤のS波速度

式(12)～式(14)を参考すると、これまで述べた  $C_{sp}, C_{sm}, T_{du}$  の傾向は自明である。例えば、図-4 に見られるように震動減衰時間係数  $T_{du}$  は表面層が基盤に比べて弱いほど大きくなる傾向があるが、これは式(14)によれば振動インピーダンス比と表面層のS波速度  $V_{50}(t)$  の積に反比例して大きくなることによる定性的な理解が可能である。 $T_{du}$  が表面層厚に正比例することも式(14)により証明される。

ところで、砂地盤の液状化問題などでは震動の周期の影響は比較的小なく震動の強さほどT<sub>du</sub>が重率であることが知られている。その場合、式(14)で  $T_{du}$  を地盤の卓越周期  $T_0 = 4d(u)/V_{50}(t)$  で除した以下のパラメータ  $T_{cy}$  が重要となる。

$$T_{cy} = C/\alpha \quad (15)$$

上式の  $T_{cy}$  は震動の強さほどT<sub>du</sub>の減少を表すパラメータであり、これは震動強さほどT<sub>du</sub>も減少するのである。これは振動インピーダンス比に反比例する。

#### 5 まとめ

以上のように震動減衰時間の長短など地盤固有の震動性状を表す新たなパラメータを定義し、これについて数値解、解析解などを示しながら、またこのパラメータ特性について少しお察を加えた。その結果、従来あまり考察されてこなかった震動減衰時間が地盤構造によりいかに影響されるかが明らかになったと思われる。

ここで定義した  $T_{du}$  などのパラメータはすべて基盤に沿ってテルタ角型の地震波が入射する条件のもとで説明したものである。 $\delta(t)$  は周波数領域で考えるとスペクトル一定として性質を有しており、一方、一般に指摘されるように基盤入射の地震波は速度スペクトル一定の性質を有している。この点を考えると、ここで定義された  $T_{du}$  などのパラメータは速度次元を備えたパラメーターと言えるかも知れない。逆に、加速度、変位次元のパラメーターは別途定義する必要がある。それには次表をみていただきたい。また、震動パワー係数  $C_{sp}$ 、震動パワーモード係数  $C_{sm}$  などは速度次元ではなくエネルギー次元を備えたパラメーターであると予想される。ここでは  $C_{sp}$ 、 $C_{sm}$  などの物理的意味には深く立ち入らなかつたが、今後は過去の震害統計と地盤構造の関係について、その工程的意義を明きながらしていくことを考えていい。

(参考文献)

- 1) 津村(1967); 震動減衰時間による地震のマグニチュードの決定、地震、第20卷
- 2) 小林(1971); 地盤震害の諸現象と地盤構造、鉄道技術研究会、N.O.754
- 3) Bolt B.A.(1973); Duration of Strong Ground Motion, Soil/WCEE
- 4) Trifunac M.D. and A.G. Brady(1975); A Study of the Duration of Strong Earthquake Ground Motion, Bull. Seism. Soc. Am. Vol. 65
- 5) 佐伯, 井上(1971); 地震減衰時間ならびに最大加速度に対する地盤の影響、第2回日本地盤工学シンポジウム講演集
- 6) 山崎, 工藤(1970); 震動強度からみるS波の減衰、第3回日本地盤工学シンポジウム講演集

図-6  $C_{sp}, C_{sm}$  と  $d(u)$  との関係

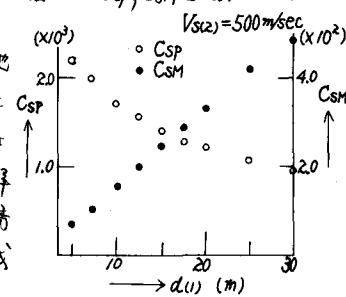


図-7  $T_{du}$  と Q 値との関係

